

# Informe TP3

Facundo Gonzalez y Joaquín Polonuer

## Descripción del problema

El problema consiste en elegir de una lista de calles bidireccionales, la que minimice la distancia entre dos puntos. Vamos a tener  $n$  puntos,  $m$  calles unidireccionales,  $s$  y  $t$  puntos críticos. Queremos decidir el costo de llegar de  $s$  a  $t$  pudiendo agregar solo una de las calles.

Para resolver este problema, modelamos un grafo con las calles unidireccionales y buscamos el camino mínimo entre  $s$  y  $t$ . Luego recorremos la lista de calles propuestas y calculamos el nuevo costo de  $s$  a  $t$  pudiendo usar esa nueva calle en ambos sentidos.

## Algoritmo y justificación

Recordemos que, para cada arista  $(u, v)$ , se tiene que

$$d_G(s, u) + c(u, v) + d_G(v, t) = d_G(s, t) \Leftrightarrow (u, v) \text{ pertenece a CM en } G$$

Vamos a querer verificar esta condición. Para eso necesitamos precalcular las distancias  $d_G(s, \bullet)$  y  $d_G(\bullet, t)$  y lo podemos hacer con:

$$\begin{aligned} & \text{dijkstra}(G, t) \\ & \text{dijkstra}(G^T, t) \end{aligned}$$

Luego, la longitud del camino mínimo es  $d_G(s, t)$  según obtuvimos con dijkstra. Sin embargo, como podemos agregar aristas externas, podría pasar que, agregando una arista candidata  $e$

$$d_G(s, u) + c(e) + d_G(v, t) < d_G(s, t)$$

Notar que cuando usamos la arista  $(u \rightarrow v)$  para acortar el camino podemos escribir  $d_{G+e}(s, u) = d_G(s, u)$  y  $d_{G+e}(v, t) = d_G(v, t)$ , ya que no usaremos esta arista para llegar de  $s$  a  $u$ , ni de  $v$  a  $t$ . Además, usar  $(u \rightarrow v)$  en nuestro nuevo camino mínimo nos garantiza que no vamos a usar  $(v \rightarrow u)$  en ese camino, porque en ese caso tendríamos un ciclo negativo. Entonces, sucede que

$$d_{G+e}(s, t) = \min\{d_G(s, t), d_G(s, u) + c((u \rightarrow v)) + d_G(v, t), d_G(s, v) + c((v \rightarrow u)) + d_G(u, t)\}$$

Esto vale, ya que o bien

- La distancia es la que calculamos previamente en  $G$
- Nos conviene usar, en algún camino mínimo, la arista nueva que une  $u$  y  $v$  en alguno de los dos sentidos.

En el segundo caso, la distancia en el grafo  $G + e$  será  $d_G(s, u) + c(e) + d_G(v, t)$  (o cambiando  $u$  por  $v$ , dependiendo del sentido) porque, como notamos previamente, la distancias  $d_G(s, u)$  y  $d_G(v, t)$  se mantienen y podemos usar la propiedad de relajación para disminuir el camino de  $s$  a  $t$  usando la nueva arista.

Ahora, de todas las aristas  $e$  que podemos usar para aplicar relajación, queremos usar aquella que minimice la distancia en  $G + e$ , es decir  $\min_{e \in \text{Candidatas}} (d_{G+e}(s, t))$ , que será la respuesta al problema.

De está forma, el algoritmo resulta ser

```
dijkstra(G, s) //Tenemos las distancias de s a todos
dijkstra(GT, t) //Tenemos las distancias de todos a t
distancia_minima = d(s,t)
for e=(u,v,w) in Candidatas:
    if d(s,u)+w+d(v,t) < distancia_minima:
        distancia_minima = d(s,u)+w+d(v,t)
    if d(s,v)+w+d(u,t) < distancia_minima:
        distancia_minima = d(s,u)+w+d(v,t)
return distancia_minima
```

## **Experimentación**

Para la experimentación tuvimos en cuenta dos implementaciones de Dijkstra. La primera utiliza un min-heap como cola de prioridad, y la segunda utiliza un array. La complejidad teórica para la implementación con min-heap es  $O(m * \log(n))$ , mientras que la complejidad para la implementación con array es  $O(n^2)$ .

Hicimos experimentos con dos tipos de grafos distintos. Uno con grafos ralos, en los cuales  $m \in O(n)$ , y otro con grafos densos, en los que  $m \in O(n^2)$ .

Experimentando con grafos ralos, observamos que la implementación con min-heap no parecía corresponderse con su complejidad teórica. Haciendo pruebas concluimos que esto se debía a que, en general, no había camino de  $s$  a  $t$  en estos grafos ralos y por eso la ejecución terminaba antes de tiempo (Fig 1). En base a

esto, decidimos hacer la experimentación con grafos raros asegurando que existiera en ellos un camino de  $s$  a  $t$ .

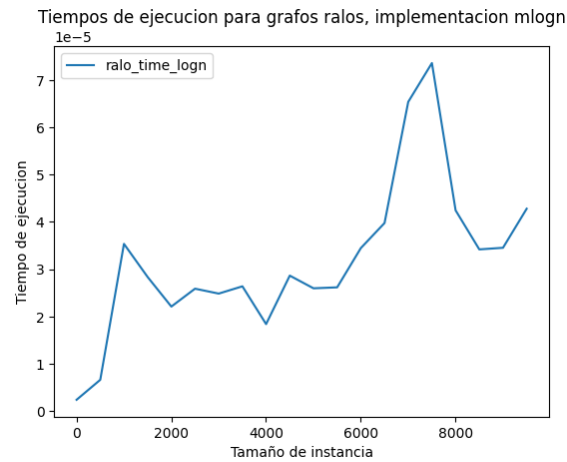


Fig 1: Tiempos de ejecución medidos para la implementación con min-heap en grafos donde no necesariamente existe camino de  $s$  a  $t$ . Notar la orden de magnitud del eje Y.

Luego de este análisis sobre cómo crearíamos las instancias, medimos los tiempos de ejecución para cada tipo de grafo en cada algoritmo y realizamos ajustes para corroborar que se correspondiera con la complejidad teórica (Figs 2 a 5).

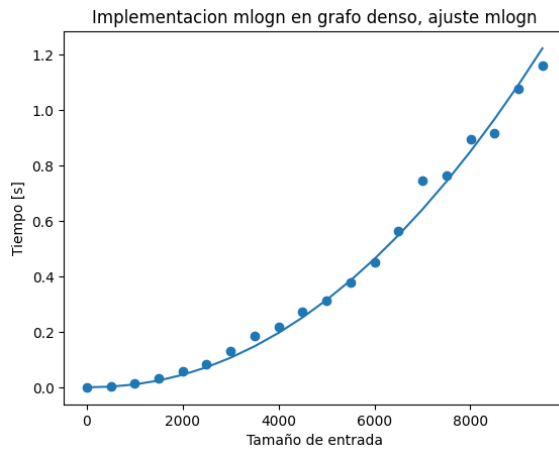


Fig 2: Ajuste del tipo  $a * n^2 * \log(n)$  realizado a los tiempos obtenidos con la implementación con min-heap en grafos densos.

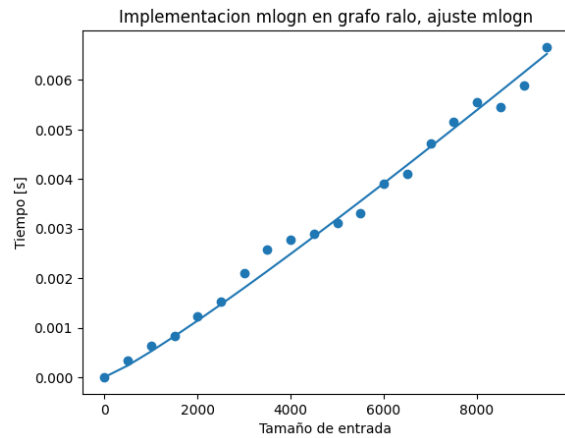


Fig 3: Ajuste del tipo  $a * n * \log(n)$  realizado a los tiempos obtenidos con la implementación con min-heap en grafos raros.

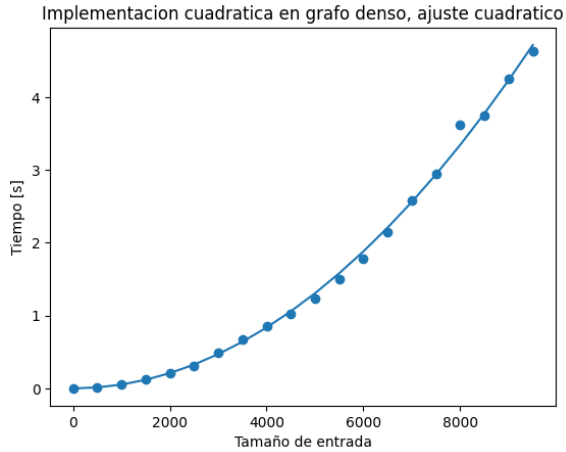


Fig 4: Ajuste del tipo  $a * n^2$  realizado a los tiempos obtenidos con la implementación con array en grafos densos.

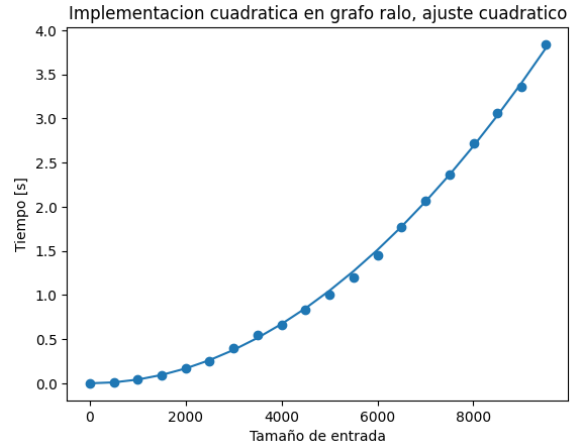


Fig 4: Ajuste del tipo  $a * n^2$  realizado a los tiempos obtenidos con la implementación con array en grafos raros.

Finalmente, comparamos ambas implementaciones para cada tipo de grafo (Figs 6 y 7). Esperábamos que para grafos densos, la implementación cuadrática sea más efectiva, ya que  $O(m * \log(n)) = O(n^2 * \log(n))$  en estos casos. Sin embargo, en la práctica terminó siendo más efectivo el algoritmo con min-heap. También hay que tener en cuenta que  $n \leq 10000$ , por lo que  $\log(n) < 14$ . Por lo tanto,  $\log(n)$  no llega a afectar mucho la complejidad.

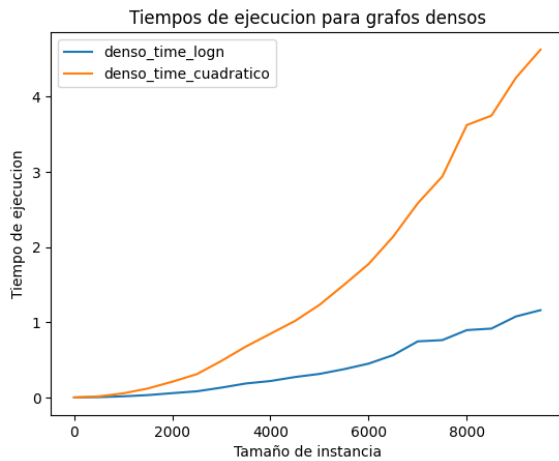


Fig 6: Comparación entre los tiempos de ejecución de cada implementación en grafos densos.

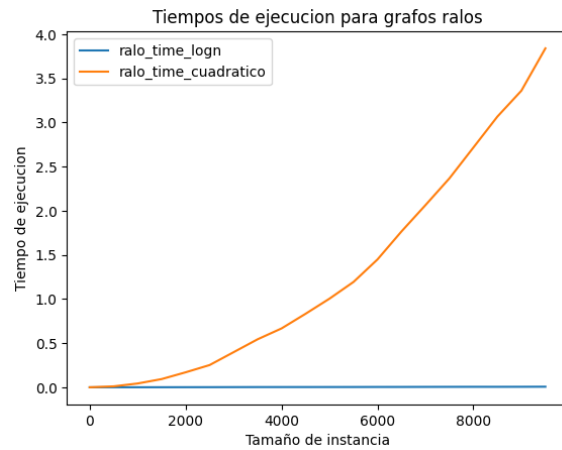


Fig 7: Comparación entre los tiempos de ejecución de cada implementación en grafos raros.